

ISSN 0389-4010
UDC 621.454
662.992.8

航空宇宙技術研究所報告

TECHNICAL REPORT OF NATIONAL AEROSPACE LABORATORY

TR-1053

高密度炭化水素燃料/酸素の比推力性能の相対比較

熊 谷 達 夫 • 植 田 修 一 • 佐 藤 政 裕

須 藤 孝 幸 • 宮 島 博 • 渡 辺 篤 太 郎

山 川 正 紀

1990 年 2 月

航空宇宙技術研究所
NATIONAL AEROSPACE LABORATORY

高密度炭化水素燃料/酸素の比推力性能の相対比較*

熊谷 達夫** 植田 修一** 佐藤 政裕**
須藤 孝幸** 宮島 博** 渡辺 篤太郎***
山川 正紀****

Specific Impulse Comparison of High Density Hydrocarbon Fuel Burned with Oxygen

By

Tatsuo KUMAGAI, Shuichi UEDA, Masahiro SATO, Takayuki SUDO,
Hiroshi MIYAJIMA, Atsutaro WATANABE
AND
Masaki YAMAKAWA

ABSTRACT

Performance tests of high density hydrocarbon fuel were conducted with a small rocket engine. The densities of the fuel examined, RJ-1J, HDF-1, and HDF-3 were 0.851, 0.996, and 1.006 respectively. The RJ-1J, which is used for the Japanese H-1 rocket, served as a reference for comparison. The thrust of the rocket engine was 490 N at a chamber pressure of 2.94 MPa and a nozzle area ratio of 5:1. The thrust chamber was water cooled, and gaseous oxygen was used as the oxidizer. To simulate a dual fuel condition, a small amount of gaseous hydrogen (2% of hydrocarbon fuel) was added to the combustion chamber. The effect of the amount of hydrogen addition on specific impulse was also tested.

Measured peak vacuum specific impulses for RJ-1J, HDF-1, and HDF-3 respectively were 291, 290, and 287 s, which is in qualitative accord with theoretical prediction. Specific impulse increased with the amount of hydrogen added as predicted. However, energy release efficiency was not affected appreciably, since it was very near to 100% at the conditions tested. It was concluded that two kinds of high density fuel tested have acceptable performances and properties for dual fuel engines. An engine specific impulse may be extrapolated from the present experiment to be 345 s at a 1000 kN thrust and 10 MPa chamber pressure level.

* 平成元年10月17日 受付

** 角田支所

*** 宇宙開発事業団

**** 日本石油化学(株)

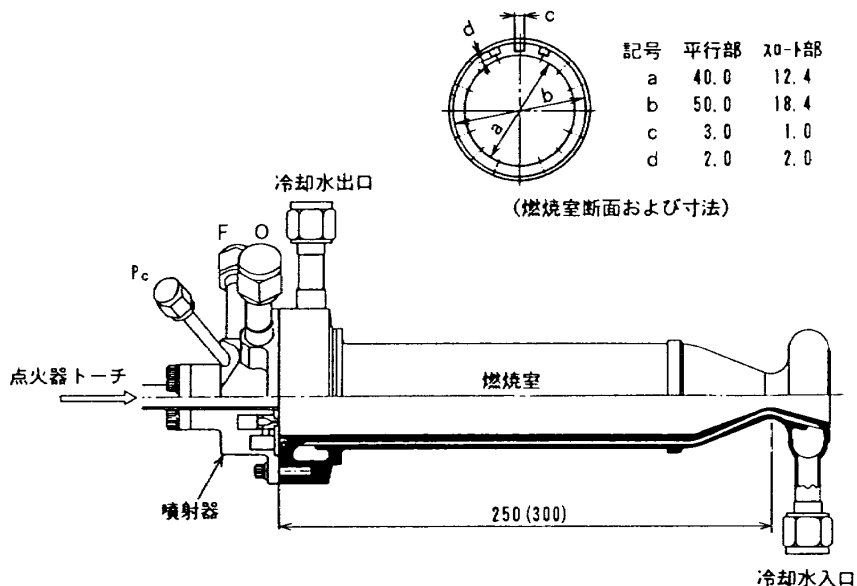


図5 燃焼性能測定用エンジン

筒にステンレスの外筒をかぶせたもので、スロート部の溝巾は1 mmであり、平行部では3 mmとした。ノズル側入口マニホールド圧3.92 MPaで冷却水流量2 l/sの場合、燃焼室圧力4.9 MPaの熱負荷に耐えるものとして溝の設計をおこなった。しかし、冷却水タンク、配管系統等の容量のため、冷却水量は1.6 l/s以下で、入口マニホールド部では約2.94 MPaとなつたため、実際には燃焼室圧力は2.94 MPaとした。燃焼室長さL(インジェクタ面からスロートまでの長さ)は同軸型インジェクタにおいて C^* 効率が96%以上になるように設計したもので25 cmと30 cmの2種類の燃焼室を製作したが、後述の予備実験の結果からはL=25 cmと30 cmの比推力にほとんど差がなかったので、大部分の実験はL=25 cmの燃焼室を用いておこなった。この燃焼室の特性長L*は230 cmに相当する。1.96 MPa(20 kgf/cm², a)程度の低燃焼圧でも十分な余裕をもってノズルにおける剥離をおこさないように、ノズル開口面積比の設計値は約5:1とした。

図6および図7にそれぞれ衝突型および同軸型のインジェクタエレメントを示す。エレメント数は両方とも6である。同軸型インジェクタエレメントは中心部の炭化水素液体噴流をそのまわりの酸化剤ガスで微粒化する方式であり、その噴射速度比($U_{ox}/U_f = U_R$)は18とし、図8に示す

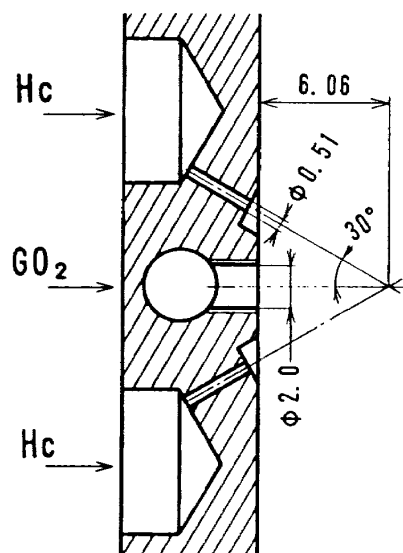


図6 衝突型インジェクタ要素

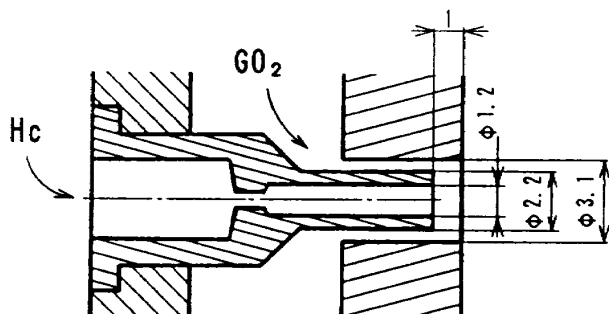


図7 同軸型インジェクタ要素

5. 実験結果

5-1 実験経過

実験は、前期のRJ-1JとHDF-1を用いた51回の予備的な実験と、RJ-1J, HDF-1およびHDF-3の3種類の燃料を用いた合計65回（累積約1950秒）の後期の実験とをおこなった。

予備実験では、同軸型インジェクタを用いた初回の実験でメインの点火後にトーチ点火器酸素を止め、次いで点火器水素の流れを止めたため、その2秒後にインジェクタ中心部が加熱されたか、あるいはトーチ点火器の高温ガス配管が破損したかによってインジェクタ側へ高温ガスがもれ、インジェクタと点火器を大破した。このため、その後の実験では、衝突型噴射器を用い、点火器高温ガス導管を細くし、材質をステンレスからニッケルに変更し、かつ、メインの燃焼中はトーチ水素を止めないシーケンスとして実験をおこなった。インジェクタの破損の原因のひとつとして同軸型インジェクタにおける壁への伝熱量が衝突型の2倍にも達していたので振動燃焼の可能性も考えられたが、加速度データ、ならびに、後期の実験の新しい規格に製作した同軸型の実験において、常に衝突型の約1.6倍の伝熱量が測定されたことから、この原因は振動燃焼ではなく壁面近くの混合比の分布によるものと考えられた。前期の実験でもうひとつ不具合点は、燃料流量較正時に流量計出力に振動が出る場合があることであった。このため、後期の実験ではタービン流量計を適正なフルスケールの別の型式に換えると共に、タンク加圧系用窒素ラインの調圧弁上流側を太くし、調圧弁のオーバホールをおこなった。どの改修がきいたのかは明白ではないが、後期での燃料の較正および計測時に出力の振動はみられなくなった。

その他にも実験精度と実験範囲の拡大をめざして実験装置に若干の改修を加え、後期の実験をおこなった。

5-2 性能評価パラメタ

性能評価のパラメタとしては特性速度 C^* 、真空比推力 I_{SPV} 、ならびに、燃焼室における燃焼の

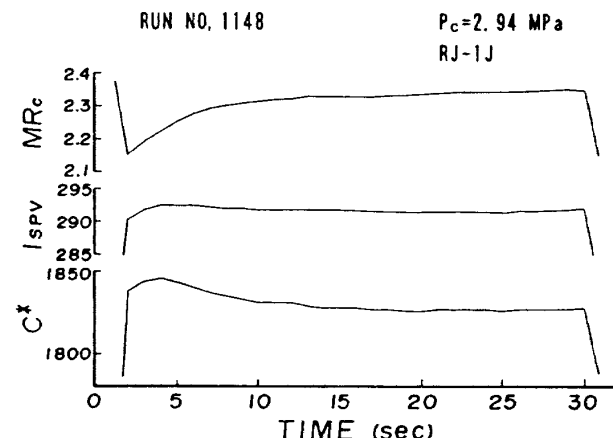


図12 性能の時間変化

効率を表わす量として C^* 効率とエネルギー発生効率がある。

図12に性能の時間的変化の一例を示す。実験装置と燃焼器を合わせた系の流体的、熱的な過渡特性としての混合比の高い側へのシフトがみられる。この混合比の変化に対しては、準定常の仮定が成立するならば C^* および I_{SPV} は時間と共に上昇するはずである（図3参照）。実際には着火後約5 s以後には C^* 、 I_{SPV} 共に時間と共に低くなつて行く傾向を示している。ほど安定した性能値を得るまでには少なくとも15 sの燃焼時間を要することがわかる。ここでは30 sの時点を性能の評価時間とした。特に C^* の時間変化は一般に I_{SPV} の変化に比べて大きいこと、また、後に述べるように（5-6項）熱損失補正をくわえると η_{C^*} は103%にも達することなどから、ここでは真空比推力 I_{SPV} を性能の主評価パラメタとし、 C^* は参考値のあつかいとした。ここで、

$$I_{SPV} = \frac{Fv}{\dot{m}_t} \quad \dots\dots\dots \quad (1)$$

$$Fv = F + P_a A_e \quad \dots\dots\dots \quad (2)$$

$$C^* = \frac{P_{c,inj} \cdot f_p \cdot A_{th} \cdot f_{dis}}{\dot{m}_t} g_c \quad \dots\dots\dots \quad (3)$$

$$C_{FV} = \frac{Fv}{(P_{c,inj} \cdot f_p)(A_{th} \cdot f_{dis})} \quad \dots\dots\dots \quad (4)$$

$$= \frac{I_{SPV}}{C^*} g_c \quad \dots\dots\dots \quad (4)$$

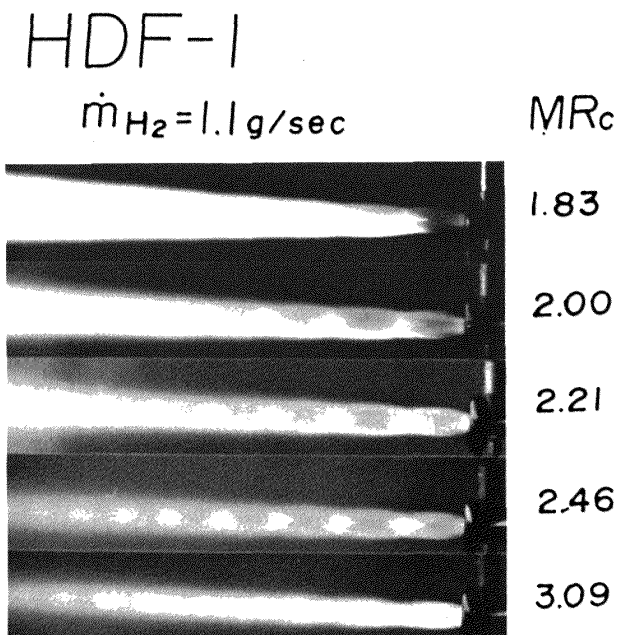


図23 排気火炎 (HDF-1, MRの効果)

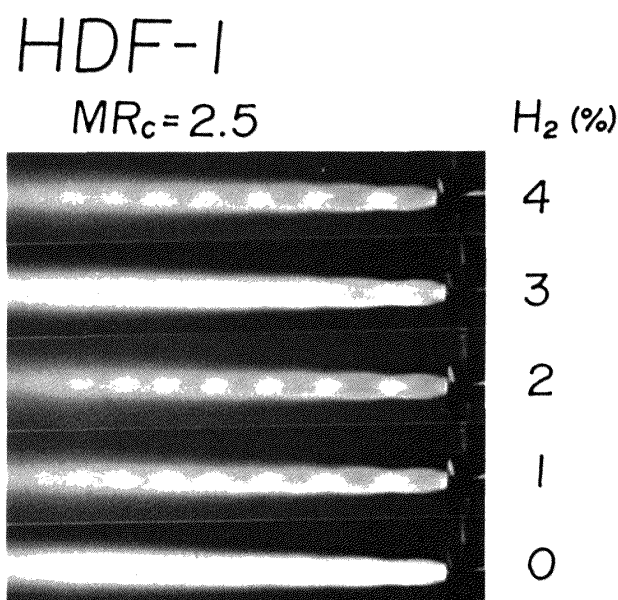


図24 排気火炎 (HDF-1, m_H2の効果)

図25に一例を示すように、燃焼器壁に付着した炭素は燃焼中にはがれて飛ぶことがある。図26, 27にテレビの録画を再生し、炭素の飛び出しの頻度を計数した結果を示す。炭素が壁よりはがれて飛び出す頻度は HDF-1の方が RJ-1J より多いことがわかる。頻度の計数は前期の実験についてのみおこなった。

なお、同軸型インジェクタにおいては図25にみられるような壁面に付着した炭素の飛び出しそ全くみられず、排気火炎は内側が赤みがかった色

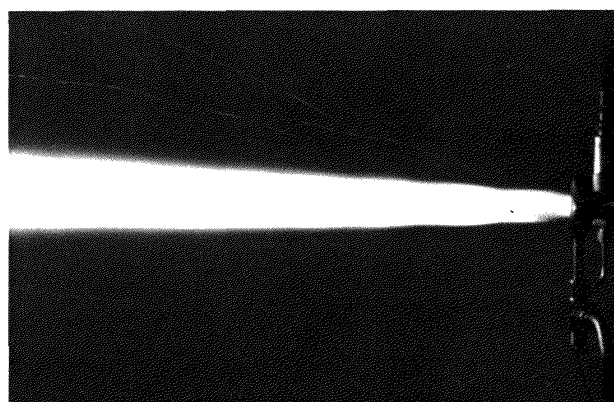
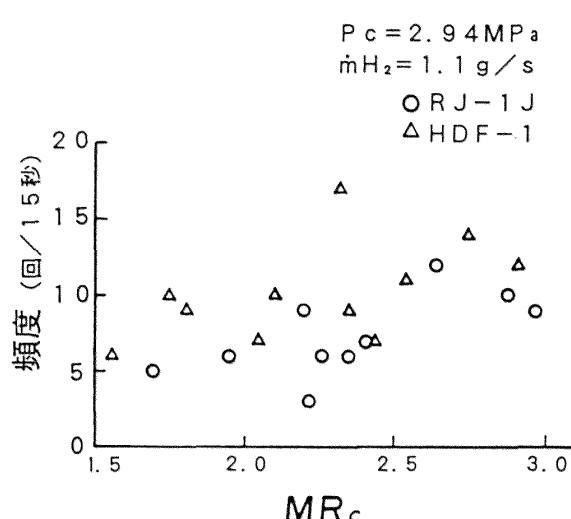
図25 炭素の飛出しの例
(Run No.1110, RJ-1J)

図26 炭素の飛出し頻度対 MRc

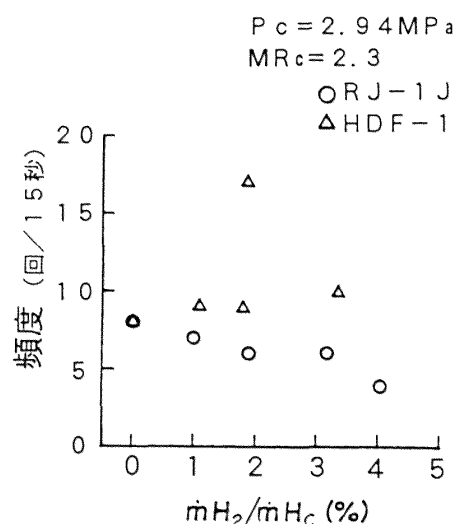


図27 炭素の飛出し頻度対 m_H2/m_Hc

で、外側が青白い色であり、壁側の混合比が高い事を示していた。これは図18に示した熱吸収量が同軸で特に高い事を説明するものである。

5-8 流路抵抗

表1に示したように、高密度炭化水素の粘度はRJ-1Jに比較すると高く、従って流路抵抗も高

いものと考えられる。図28にランタンクから燃焼室までの流路抵抗 R_{T-c} およびインジェクタの抵抗 R_{J-c} を示す。ここで、流路抵抗 R は(9)式で定義される。

$$R_{1-2} = \frac{\rho(P_1 - P_2)}{\dot{m}^2} g_c \quad \dots \dots \dots \quad (9)$$

予想通り RJ-1J, HDF-1, HDF-3の順に R_{T-c} は大きくなっているが、 R_{J-c} の相異は R_{T-c} のそれらに比べて小さくなっている（スケールの相異に注意）。これは、インジェクタが燃焼ガスによって加熱されるため、燃料の粘度の効果が相対的にうすめられるためではないかと考えられる。

6. 性能の外挿

図1のようなエンジンを考えたとき、推力980～1960kN、燃焼室圧9.8～19.6MPaにおいて燃焼室の冷却に必要な水素は炭化水素の流量の約5.5～6.5%となる。安全側の見積りをして、水素は炭化水素の6～7%が必要なものとし、2%分だけ混焼するものとする。インジェクタのエネルギー発生効率は、前節の実験データから補正なしの値 $\eta_{ER} = 96\%$ と、熱補正ありの $\eta_{ER} = 100\%$ との

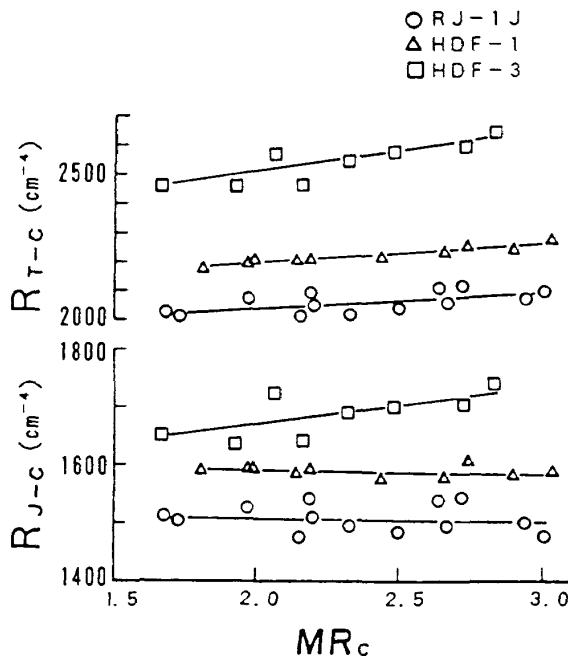


図28 燃料の流路抵抗の比較

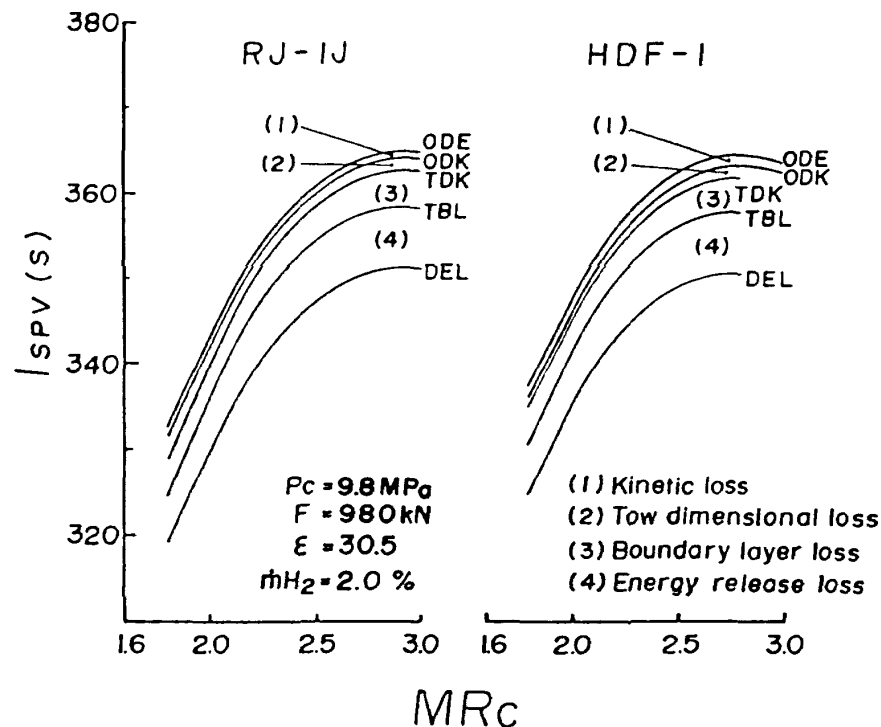


図29 推力100トンエンジンの性能

航空宇宙技術研究所報告1053号

平成2年2月発行

発行所 航空宇宙技術研究所
東京都調布市深大寺東町7-44-1

電話 三鷹(0422)47-5911(大代表) 〒182

印刷所 株式会社 共進
東京都杉並区久我山5-6-17

Printed in Japan